

## フレッシュモルタルのレオロジー定数の測定

京都大学大学院 学正員の水口裕之  
西松建設 安永正三

1. まえがき フレッシュコンクリートのレオロジーを知ることはより合理的なコンクリートを製造するために必要である。本報告は、フレッシュコンクリートのレオロジーを調べるために基礎となるモルタルをビングム物体と仮定した場合について2種の粘度計を用いて、配合比および砂の粒径が降伏値および塑性粘度に及ぼす影響について検討したものである。

2. 実験の概要 図-1および2に示した粘度計を試作した。図-1の鉄球ひきあげ粘度計はやわらかい試料に適するものであり、図-2の平行板プラスチックメーターはかたい試料に適するものである。鉄球ひきあげ粘度計では、塑性粘度を $\eta_p$ 、降伏値を $\gamma_0$ とすると、 $\dot{\gamma} = \frac{1}{\eta_p} (\tau - \gamma_0)$ 、ここで  $\dot{\gamma} = \frac{3V_0}{2a^2}$ ,  $V_0$ : ひきあげ速度,  $a$ : 鉄球の半径,  $F$ : 鉄球をひきあげるときの抵抗力, を用いて異なった $\eta_p$ をなすかたちでそのときの $\dot{\gamma}$ を測定し、その関係図より、 $\tau$ 軸の切片から $\gamma_0$ 、直線の勾配の逆数から $\eta_p$ が求まる<sup>(1)</sup>。平行板プラスチックメータでは、 $\dot{\gamma} = \frac{1}{\eta_p} (\tau - \gamma_0)$ 、ここで、 $\dot{\gamma} = -\frac{9a^2 dh}{2h^2 dt}$ ,  $\tau = \frac{3hF}{\pi a^3}$ ,  $h$ : 試料の厚さ,  $a$ : 試料の半径,  $F$ : 荷重,  $t$ : 時間を用いて、定荷重のときの $\dot{\gamma}$ の変化を測定することによって鉄球ひきあげ粘度計の場合と同様に $\eta_p$ および $\gamma_0$ を求めることができる。

普通ポルトランドセメントおよび豊浦産の標準砂を用い、平行板プラスチックメーターを使用して $\eta_p$ および $\gamma_0$ を求めた。さらに粒径の大きい相馬砂を用いて同じ配合比の場合の $\eta_p$ および $\gamma_0$ を鉄球ひきあげ粘度計を用いて測定し、豊浦砂の場合と比較した。配合要因としては、水セメント比W/Cを0.25から0.55まで、砂容積比 $\beta_h = \frac{h}{c+w+h}$ を0から0.40まで変化させた。試料は、モルタルミキサーで、セメントと水を投入し、低速で30秒間練りませながら砂を入れ、その後30秒間の高速練り、1分休止、高速で1分30秒間練りませた。試料の温度は、練りませ水の温度を加えて20±2°Cになるようにした。また、フロー値として、JISのフロー試験に準じて、フローコーンをひきあげたときのフロー値 $F_L$ および15回の落下を与えたのちのフロー値 $F_{L,15}$ を測定した。

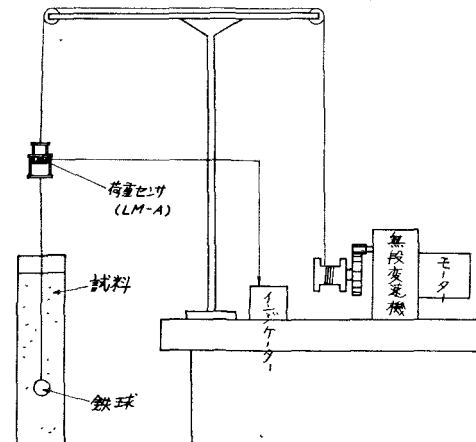


図-1 鉄球ひきあげ粘度計

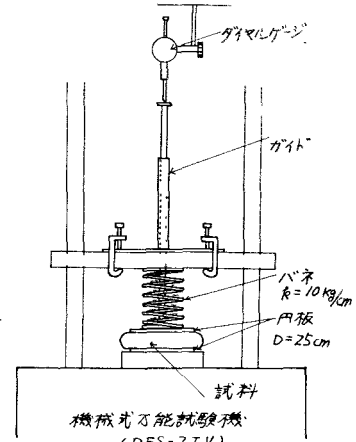


図-2 平行板プラスチックメーター

### 3. 実験結果および考察

配合をえたときの配合比と降伏値  $\gamma_y$  よび塑性粘度  $\eta_{pl}$  との関係を図-3 および 4 に示す。図-3 に見られるように、 $\gamma_y$  が同じ場合  $\gamma_y$  は  $W/C$  の大きい方が小さく、 $W/C$  一定では  $\gamma_y$  の小さくなるに従って  $\gamma_y$  は小さくなっている。 $\eta_{pl}$  は図-4 に示されているように、1・2 の例外はあるが  $\gamma_y$  の場合と同じ傾向を示している。この例外  $W/C = 0.35$ ,  $\gamma_y = 0.20$  で一つのピークが示されているのは、 $\eta_{pl}$  の測定精度に問題があるのではないかと思われる。

配合比を同じにして、粒径の異なる相馬砂と豊浦砂を用いた場合の  $\gamma_y$  よび  $\eta_{pl}$  を図-5 に示す。図に見られるように配合比が同じであれば  $\eta_{pl}$  はほぼ同じ値を示している。しかし、 $\gamma_y$  は比表面積の小さい相馬砂の方が小さくなっている。

したがって、塑性粘度  $\eta_{pl}$  については、前述したように  $W/C$  で  $\gamma_y$  を大きくすると  $\eta_{pl}$  が大きくなっていること、および同じ粘度を持つペーストで  $\gamma_y$  も同じこと、砂の比表面積の異なるモルタルでも  $\eta_{pl}$  は同じ値を示していることから、相対粘度の考え方が適用できるであろうことが示されていると考えられる。

また、フロー値と  $\eta_{pl}$  より  $\gamma_y$  との関係を示すと図-6 のようになり、 $FL_0$ ,  $FL_{15}$  とも砂の種類に関係なく  $\gamma_y$  とよい相関を示しており、フロー値は  $\gamma_y$  のよい指標と考えられる。

最後に、本実験を行なうにあたり京都大学の岡田清教授、小柳治助教授より終始御力なる指導をいただきました。ここに記して深く感謝いたします。

参考文献 (1) 水工、実業; 第2回セメント技術大会講演要旨(昭和48年5月予定)  
(2) 土木; 材料, 12 (1963) 314-316.

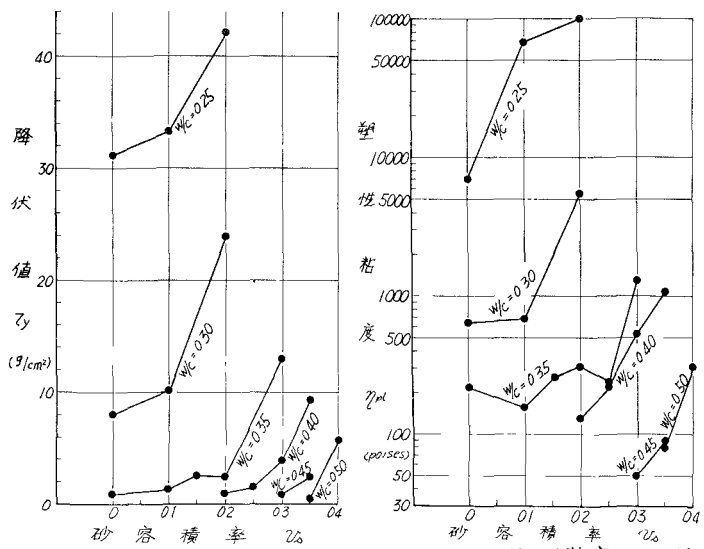


図-3 配合比と降伏値との関係 図-4 配合比と塑性粘度との関係

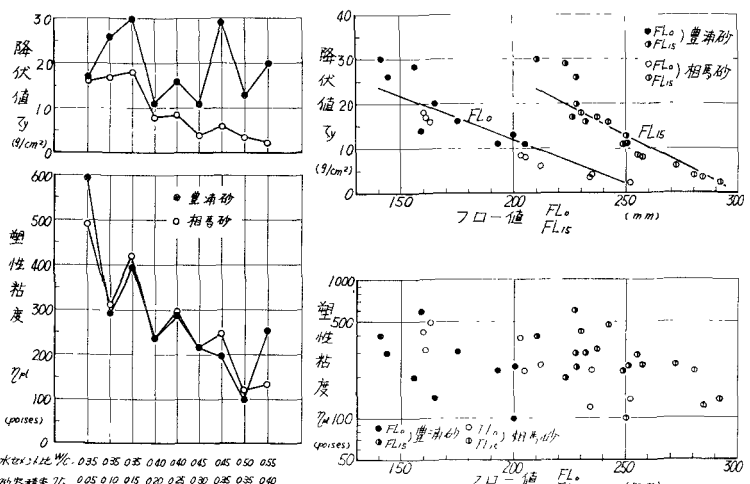


図-5 豊浦砂と相馬砂との比較 図-6 フロー値と降伏値および塑性粘度との関係